

마그네시아-지르코니아 복합소결체의 소결과 미세구조에 미치는 TiO_2 의 영향

이윤복 · 김인술* · 장윤식 · 박홍채 · 오기동

부산대학교 무기재료공학과

*산업과학기술연구소

Influence of TiO_2 on Sintering and Microstructure of Magnesia-Zirconia Composites

Yoon-Bok Lee, In-Sool Kim, Yun-Sik Jang,

Hong-Chae Park and Ki-Dong Oh

Dept. of Inorganic Mater. Eng., Pusan National University

*Research Institute of Industrial Science & Technology

초록 마그네시아-지르코니아 복합체의 소결과 미세구조에 미치는 TiO_2 의 영향에 대하여 검토했다. 3mol% Y_2O_3 를 함유한 ZrO_2 는 TiO_2 첨가시 1400°C에서 기지상인 MgO 와 첨가제인 TiO_2 의 고용에 의해서 $c\text{-}ZrO_2$ 상으로 존재하였다. TiO_2 첨가시 조성에 관계없이 승온수축거동은 유사하였으며 1650°C에서 최종수축율은 8.58~11.0%이었다. 1.67wt% TiO_2 첨가시 소결이 촉진되어 1600°C 2시간에서의 소결밀도는 3.75g/cm^3 (이론밀도의 98%)였다. ZrO_2 내에 고용된 MgO 와 TiO_2 의 양은 각각 5.67wt%, 2.62wt%로 냉각과정중 입계주위에서 일부 석출되어 Ti 화합물을 형성하였다. 이의 존재로 말미암아 생성된 미세균열은 격임강도를 감소시켰다.

Abstract Influence of TiO_2 addition on sintering behavior and microstructure of $MgO\text{-}ZrO_2$ composites was studied. ZrO_2 containing 3mol% Y_2O_3 was existed as a $c\text{-}ZrO_2$ phase due to the formation of solubility of MgO , TiO_2 and ZrO_2 when sintered 1400°C for 2h. All the compositions employed exhibited a similar shrinkage behavior with an end-point shrinkage between 8.58 and 11.00%. The addition of TiO_2 promoted densification and the bulk density of specimen containing 1.67wt% TiO_2 was 3.75g/cm^3 (98% TD) when 1600°C for 2h. The amount of solubilities of MgO and TiO_2 in ZrO_2 were 5.67wt% and 2.62wt%, respectively. They were partially segregated near ZrO_2 grain boundary in the form of Ti -compounds during cooling. This segregation resulted in the formation microcracks which decreased the bending strength.

1. 서 론

마그네시아(MgO) 세라믹스는 용융금속에 대한 고온내식성이 우수하므로 PZT 소성용 부품, $\beta\text{-}Al_2O_3$ 소성용 도가니 등에 사용된다.

그러나 마그네시아 소결체는 기계적 강도 및 내열충격성이 약하다는 단점이 있어 이를 개선하기 위하여 MgO 기지에 ZrO_2 및 whisker 상 등을 분산시켜 복합화에 의한 소결성 증진 및 미세구조 제어에 따른 물성 증진 방안이 행하여지고 있다^{1~3)}.

마그네시아는 고온에서 고상반응소결과 재결정화법에 의해 제조되어 지는데 가능한 한 낮은 온도에서 소결을 효과적으로 진행시키기 위해서는 주로 첨가제^{4~10)}가 사용된다. 첨가제로서의 TiO_2 는 비교적 고용도가 적은 소결촉진제로 알려져 있다. 또한 3mol% Y_2O_3 를 함유한 ZrO_2 의 경우 TiO_2 는 약 20mol% 까지 고용이 가능하여 정방정지르코니아($t\text{-}ZrO_2$)를 안정화 시키며 소결을 촉진시킨다^{11~12)}. 그런데 $MgO\text{-}ZrO_2(Y_2O_3)$ 계의 소결성과 미세구조에 미치는 TiO_2 의 첨가 영향에 관한 연구는

미흡한 실정이다.

따라서 본 연구에서는 MgO 를 기자로 하여 3mol% Y_2O_3 를 함유한 ZrO_2 를 균일하게 분산시켜 복합소결체를 제조하여 소성과정시 결정상 및 상변화거동, 치밀화, 소결체의 미세구조와 강도에 미치는 TiO_2 의 영향을 검토하였다.

2. 실험방법

본 실험에서는 마그네시아원으로 수용성의 황산마그네슘($MgSO_4 \cdot 7H_2O$)을, 지르코니아

원으로 부분안정화지르코니아 3mol% Y_2O_3 - ZrO_2 , 첨가제로서는 황산티타닐염($TiOSO_4 \cdot 2H_2O$)을 출발물질로 사용하였다. 지르코니아에 TiO_2 가 20mol%까지 고용됨을 근거^[1~12]로 하여 지르코니아에 대하여 0, 0.83, 1.67, 2.51, 3.6wt% TiO_2 가 첨가되게끔 산화물로 환산하여 청량하였다(Table 1).

황산마그네슘과 황산티타닐염의 균일한 혼합분산을 위하여 탈이온증류수를 사용하여 교반한 후, 각각의 혼합수용액을 분무건조기

Table 1. Composition of $MgO-ZrO_2$ composites

Sample No.	Item	MgO/ZrO_2 (mol%)	TiO_2/ZrO_2 (mol%)	composition(wt%)		
				MgO	ZrO_2	TiO_2
1		90/10	0/100	75.09	24.91	0
2		"	9/95	75.41	23.76	0.83
3		"	10/90	75.73	22.60	1.67
4		"	15/85	76.05	21.44	2.51
5		"	20/80	76.37	20.26	3.66

를 사용하여 분무건조분말을 제조하였다.

하소온도를 결정하기 위하여 분무건조된 황산마그네슘과 황산티타닐 및 이들의 혼합건조분말에 대하여 DTA분석을 행하였다. 건조분말 약 22.1mg을 청량하여 백금도가니에 넣고

대기중에서 승온속도 10°C/min으로 실온에서 1250°C까지 가열하였다. 열분석결과(Fig. 1)를 근거로 하여 SiC 를 발열체로 하는 전기로를 사용하여 대기중에서 1250°C, 2시간을 유지하여 하소하였다. MgO 하소분말과 출발물질로 사용한 ZrO_2 분말의 특성을 Table 2에 나타내었다.

하소처리된 각각의 혼합분말에 MgO 에 대하여 10mol% ZrO_2 가 첨가되게끔 다시 청량한 후, 각 혼합물을 polypropylene용기에 넣고, isopropyl alcohol 및 ZrO_2 ball을 사용하여 24시간 동안 ball milling하였다. 분산된 혼탁액을 자기교반기에서 분산상태를 유지하면서 30°C에서 건조하였으며 건조후 마노유발을 이용하여 분쇄하고 140mesh분급망을 통과시킴으로써 과립화하였다.

시편의 성형은 2중연마한 금형볼드를 사용하여 150kg/cm² 일축가압성형한 후 1500kg/cm²으로 냉간정수압성형을 하였다. 이때 소결에 따른 결정상 및 밀도측정을 위한 시편크기는 12φ×50mm이었다.

성형체의 수축거동은 고온열팽창기가 부착된 분위기가압소결로를 사용하여 5×5×15mm 크기의 시편을 1기압-Ar분위기 중에서 1650

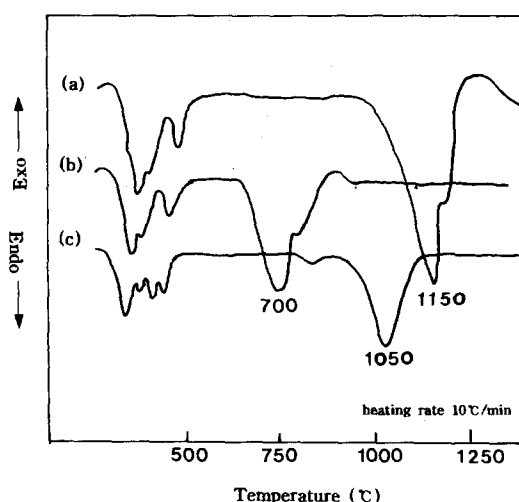


Fig. 1 DTA curves of sulfate powders prepared by Spray drying.

- (a) $MgSO_4 \cdot 7H_2O$
- (b) $TiOSO_4 \cdot xH_2O$ ($x=1.5 \sim 2$)
- (c) (a)+(b)

Table 2. Properties of MgO and ZrO₂ Powders and Raw Materials

	Specific surface area(m ² /g)	Grain Size(μm)	Chemical composition(wt %)								
			MgO	ZrO ₂	Y ₂ O ₃	CaO	Na ₂ O	K ₂ O	SiO ₂	Fe ₂ O ₃	
MgO ⁺	3~6	<1.5	99.54	*	*	0.26	0.19	0.01	*	*	0.02
ZrO ₂ *	4~10	0.4~0.7	*	94.1	5.4	0.05	*	*	0.15	0.01	0.15

+ XRF Analysis

* HSY-3.0(第一稀元素(株), Japan)

°C까지 4°C/min 승온으로 가열한 후 30분 유지시킬 때 까지의 연속적인 수축율을 측정함으로써 검토하였다.

소결체의 밀도는 아르키메데스법을 이용하여 측정하였으며, 꺽임강도는 다이아몬드 절삭기(MX-833, Maruto Co., Ltd., Japan)를 이용하여 4X4X50mm 크기로 시편을 절단한 후, 0.4 μm Al₂O₃ 입자를 사용하여 시편 표면을 연마한 후, Instron(Model-6025, Instron, Englad)을 이용하여 cross head speed 0.5mm/min로 3개의 시편을 4점 하중법으로 측정하여 그 평균값을 구하였다.

소결체의 미세구조는 연마한 시편을 1400 °C, 30분동안 thermal etching한 표면을 EDS(Roran Series-III, USA)가 부착된 주사 현미경(Jeol JSM-5400, Japan)을 사용하여 관찰하였다.

3. 결과 및 고찰

3-1. 소결체의 결정상

TiO₂ 첨가에 따른 결정상의 변화를 알아보기 위하여 10mol% ZrO₂를 함유한 성형체를 1400 °C, 2시간 유지한 후 냉각시킨 시편의 표면에 대하여 X선회절분석을 행하였다(Fig. 2). TiO₂ 첨가량에 관계없이 periclase상과 c-ZrO₂상이 동정되었으며 TiO₂ 첨가시 c-ZrO₂상의 회절강도는 다소간 증가하였다.

출발물질로 사용된 3mol% Y₂O₃를 함유한 부분안정화지르코니아가 안정화지르코니아상(c-ZrO₂)으로의 전이는 이 소성온도영역에서 기자상인 MgO와 첨가제인 TiO₂가 ZrO₂ 결정격자내에 고용의 가능성을 제시하고 있다. 이를 확인하기 위하여 3.66wt% TiO₂를 함유한 성형체를 1500°C, 2시간 유지한 시편에 대하여 SEM관찰 및 EDS분석을 행하고 그 결과를 Fig. 3에 나타내었다. ZrO₂ 결정립 내부에서 Y원소 뿐만 아니라 Mg원소 및 Ti원소의 존재

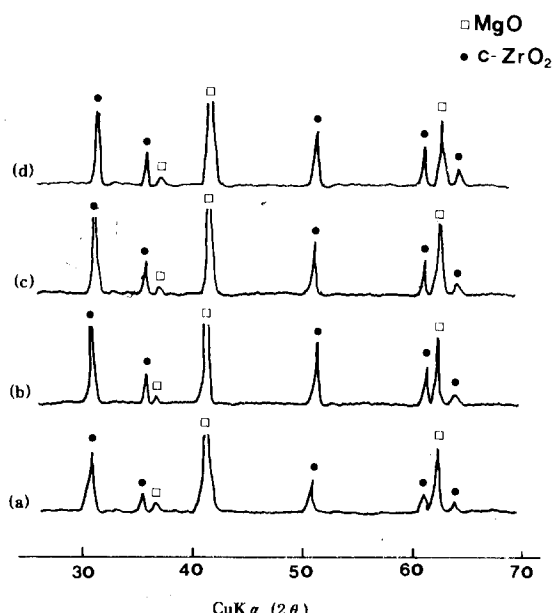


Fig. 2 X-ray diffraction patterns of MgO-10mol% ZrO₂ composite containing various amounts of TiO₂ at 1400°C for 2h.

(a) 0wt% TiO₂ (b) 0.83wt% TiO₂
(c) 1.67wt% TiO₂ (d) 3.66wt% TiO₂

를 확인하였다. 이로부터 소성과정중에 MgO와 TiO₂는 ZrO₂ 결정격자내에 고용되어 c-ZrO₂ 안정화제로 작용함을 알 수 있다. EDS분석결과 ZrO₂내부에 고용된 MgO와 TiO₂는 각각 5.67wt%, 2.63wt%로 추정된다.

3-2. 소결체의 치밀화

Fig. 4는 1650°C까지 연속가열시 성형체의 수축율에 미치는 TiO₂ 첨가영향에 대하여 나타낸 것이다. 첨가량에 관계없이 약 1550°C부근에서 온도증가에 따른 급격한 수축변화를 나타내기 시작하였으며 수축율의 크기는 0.83wt%, 3.66wt%, 0wt% TiO₂ 첨가순으로 나타났다. 1650°C에 노달시 수축곡선은 거의 수평을 이



Fig. 3 SEM photograph of MgO-10mol% ZrO₂ composite containing 3.66wt% TiO₂ fired at 1500°C for 2h and its EDS spectrum of c-ZrO₂ grain.

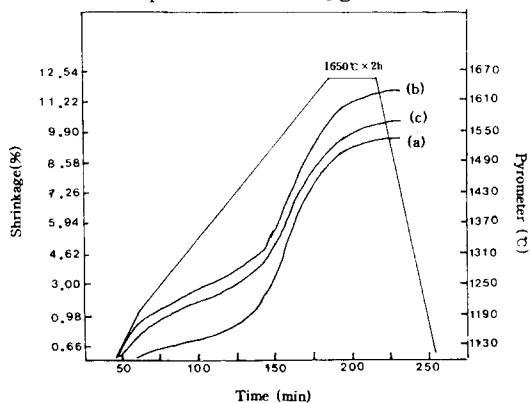


Fig. 4 Thermal shrinkage of specimens containing various amounts of TiO₂.

(a) 0wt% (b) 0.83wt% (c) 3.66wt%

루면서 소결이 종료되었다. 이때 최종수축율은 8.58-11.00%이었다.

Fig. 5는 1400°C, 1500°C, 1600°C 각 2시간 유지한 소결체의 TiO₂첨가에 따른 부피밀도의 변화 나타낸 것이다. 각 온도에서 1.67wt% TiO₂첨가시 최대의 소결밀도를 나타내었으며 그 이상의 첨가시에는 감소하였다. 이러한 경향은 Fig. 4의 수축곡선과도 잘 일치한다. 1600°C에서 TiO₂를 첨가하지 않은 경우 소결밀도는 3.63g/cm³에 반하여 1.67wt%TiO₂첨가시의 소결밀도는 3.75g/cm³(상대밀도 약98%)를 나타내었다.

ZrO₂입자를 분산시킨 MgO세라믹스의 소결밀도 증가¹³⁾는 ZrO₂의 고용에 의해 양이온 공

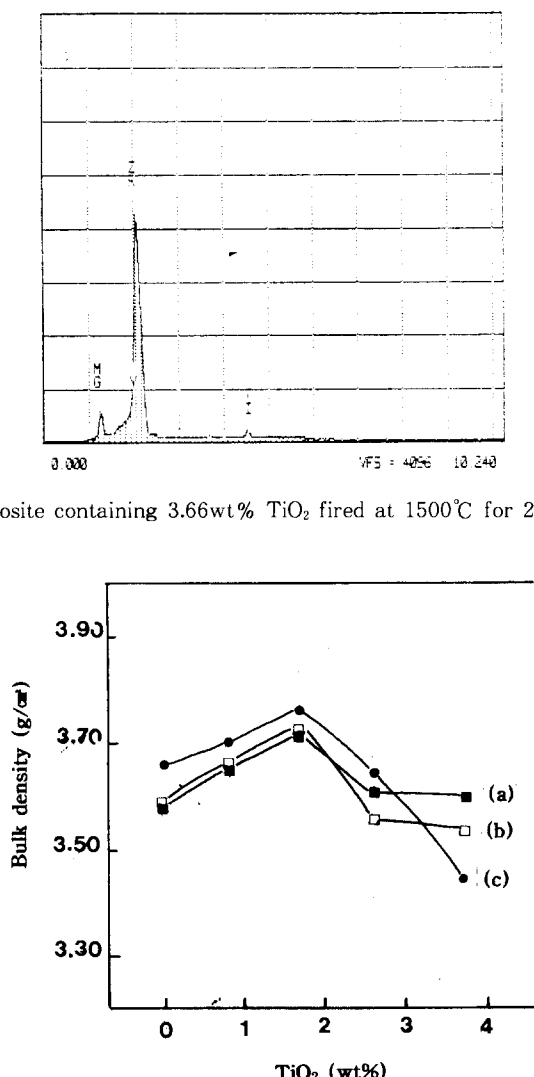
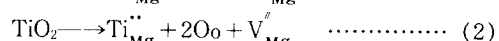
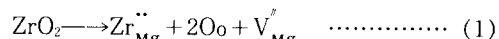


Fig. 5 Bulk density of specimens containing various amounts of TiO₂ at various temperatures for 2h. (a) 1400°C (b) 1500°C (c) 1600°C

공의 증가로 인하여 Mg이온의 확산이 촉진되는 경우와 과잉의 ZrO₂가 입계에 존재함으로써 입계의 이동성을 감소시켜 소결이 촉진되는 경우가 있다. 또한 첨가제로서 TiO₂를 함유한 경우가 그렇지 않은 경우에 비하여 소결밀도가 증가하는 것은 ZrO₂상의 존재와 더불어 TiO₂첨가에 따라 아래와 같은 결합반응식¹⁴⁾에 의해 MgO격자내에 고용에 의한 양이온의 공-공의 증가를 예상할 수 있다.



그러나 ZrO_2 와 TiO_2 의 경우 다른 산화물의 첨가제에 비하여 MgO 에 대한 고용도가 작으므로¹⁴⁾ 첨가제의 양에 따라서 소결촉진효과가 좌우된다. 즉, Fig. 5에서 각 온도에서 1.67wt %이하의 TiO_2 첨가시 소결밀도의 증가는 MgO 격자 중에 ZrO_2 및 TiO_2 의 고용에 의해

공공을 형성하거나 또는 결정구조를 변형시킴으로써 확산과정에 의해 소결이 촉진되는 반면에 그 이상의 TiO_2 첨가시입계주위에서 MgO 및 ZrO_2 와의 반응에 의해 화합물을 생성함으로써 치밀화를 저해시키는 것¹⁵⁾으로 생각된다.

3-3. 소결체의 미세구조

Fig. 6은 1500°C, 2시간 유지한 소결체의 미세구조를 TiO_2 첨가량에 따라 나타내었다. 겸

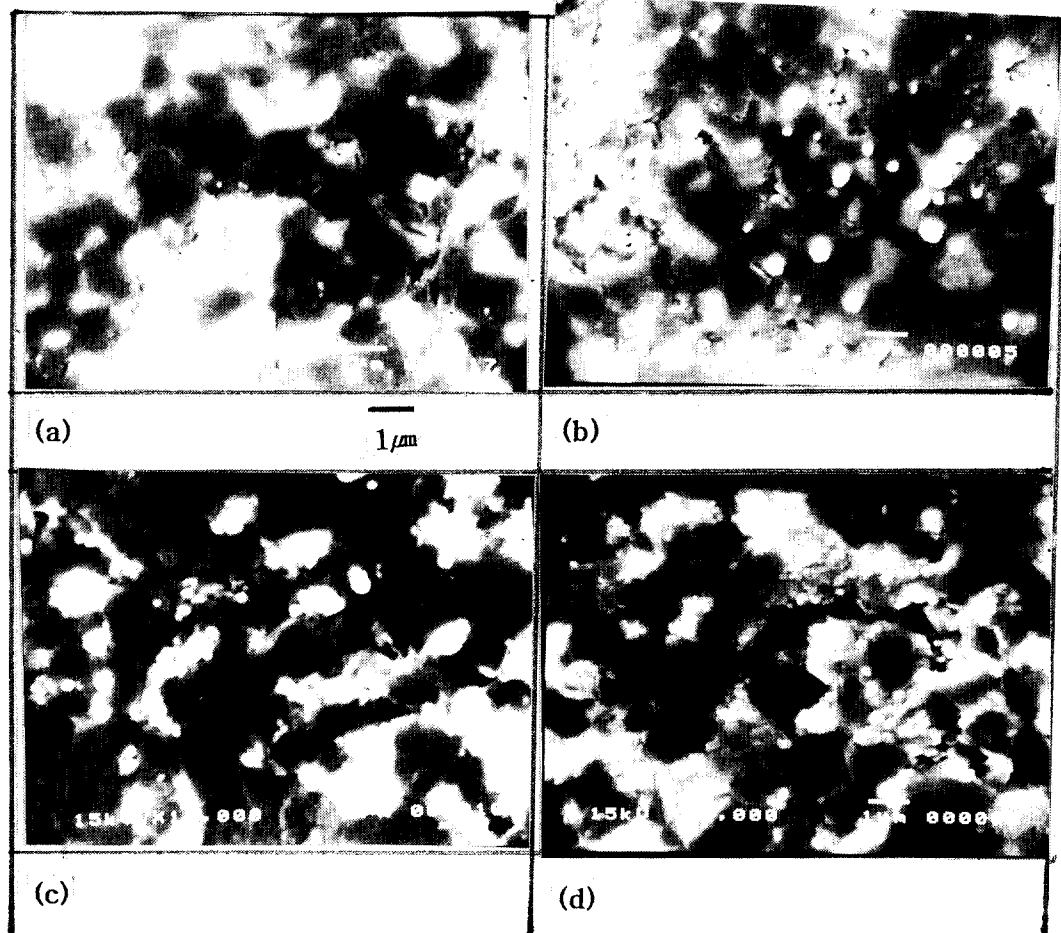


Fig. 6 SEM photographs of MgO -10mol% ZrO_2 composite containing various amounts of TiO_2 at 1500°C for 2h. (a) 0wt% TiO_2 (b) 0.83wt% TiO_2 (c) 1.67wt% TiO_2 (d) 3.66wt% TiO_2

게 보이는 부분이 MgO 이고 회색 보이는 부분이 ZrO_2 이다. 정도의 차이는 있으나 모든 경우에 있어서 ZrO_2 옹집입자의 존재가 확인되었으며, 이러한 응집체는 복합체의 치밀화를 저해하는 것으로 알려져 있다^{15, 16)}. 특히 3.66wt% TiO_2 를 첨가한 경우 MgO 입계 및 제2상인 ZrO_2 입계주위에 석출물 형태의 존재를

확인할 수 있었다. 또한 MgO 결정립크기는 TiO_2 첨가에 따라 미미한 증가를 나타내었으며 1.67wt% TiO_2 첨가시 MgO 와 ZrO_2 의 결정립크기는 각각 약 $3.0\mu\text{m}$ 와 $2.5\mu\text{m}$ 이었다.

2.51wt% TiO_2 를 첨가한 시편을 1400°C, 1500°C, 1600°C 각 시간 소성한 후의 미세구조를 Fig. 7에 나타내었다. 각 온도에서 입계

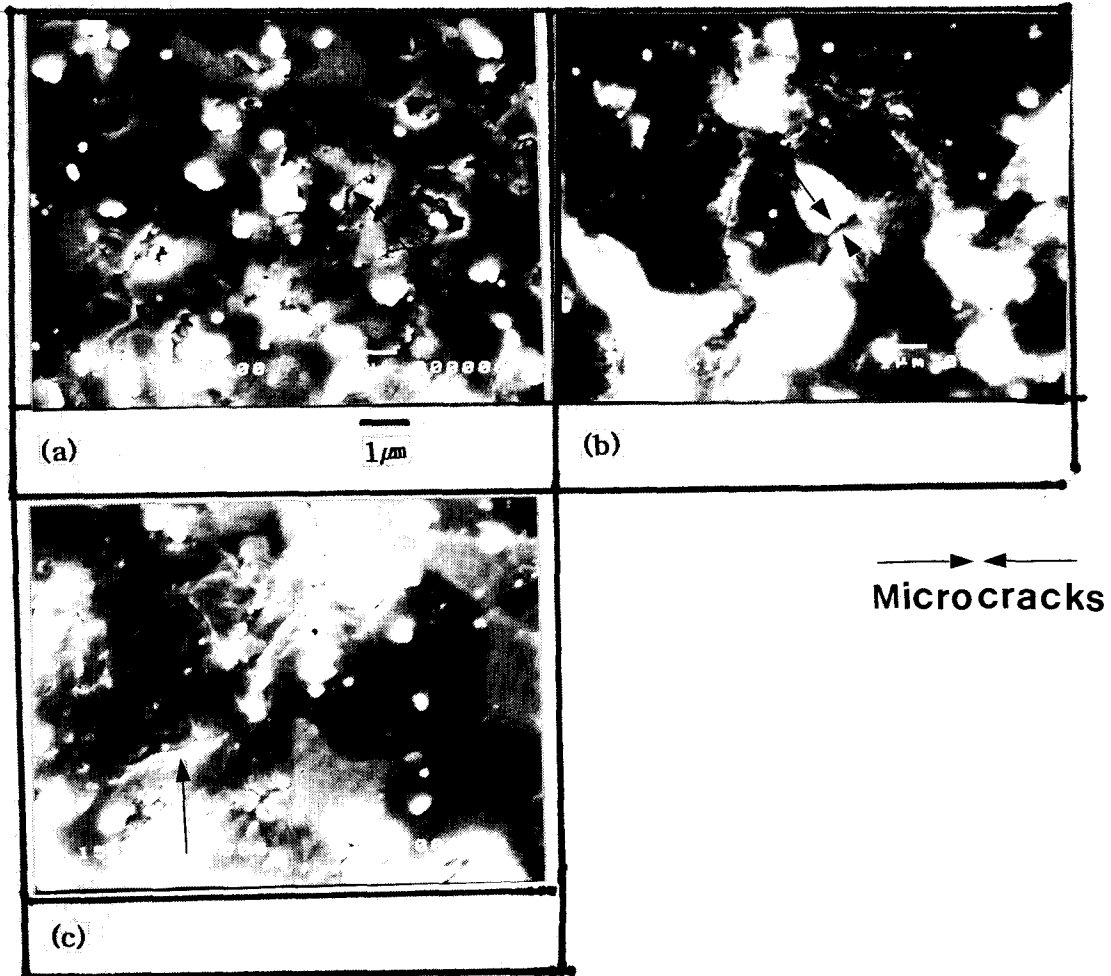


Fig. 7 SEM photographs of MgO-10mol% ZrO₂ composite containing 2.51wt% TiO₂ at various temperature for 2h. (a) 1400°C (b) 1500°C (c) 1600°C

주위에서 미세균열의 존재가 확인되었다. 이 것은 소성냉각과정 중에 MgO와 ZrO₂ 및 Ti화합물로 추정되는 것들 간의 열팽창계수의 차이로 인하여 발생한 내부응력이 입계주위에 미세균열을 생성시킨으로써 것으로 생각된다. 이러한 미세균열의 존재를 TiO₂첨가량에 따른 수축율(Fig. 4) 및 소결밀도(Fig. 5)와 결부시켜 보면, TiO₂ 첨가량이 어느 일정한 값(2.51 wt%) 이상이 되면 상대적으로 많은 양의 Ti화합물이 생성되고 따라서 소성냉각과정 중 다량의 균열을 발생시켜 또한 소결밀도를 저하시키는 것으로 생각된다.

Fig. 8는 1600°C, 2시간 유지한 소결체의 TiO₂첨가에 따라 기공크기분포를 나타낸 것이다. TiO₂첨가량이 2.51wt% 이상 증가할수록

주된 기공크기분포는 보다 큰 기공쪽으로 이동하고 있음을 알수있다. 특히 3.66wt% TiO₂첨가의 경우 기공크기분포의 최대치는 50μm정도의 기공크기하에서 나타내며 그 이하의 TiO₂첨가시 존재하는 1μm부근의 기공크기는 존재하지 않았다.

3-4 소결체의 강도

Fig. 9는 1600°C 2시간 열처리한 시편의 꺽임강도값을 TiO₂첨가에 따라 나타낸 것이다. 0wt%, 0.86wt%, 1.67wt% TiO₂첨가시 소결체의 꺽임강도값은 240~260MPa를 나타내었으며 그 이상의 첨가시에는 꺽임강도값이 감소하였다. Ikuma^{17~19)}에 의하면 MgO에 ΔT=1500°C 범위에서 발생한 내부응력값은 실제 괴강도의 값을 가지며 이것은 MgO의 빠른

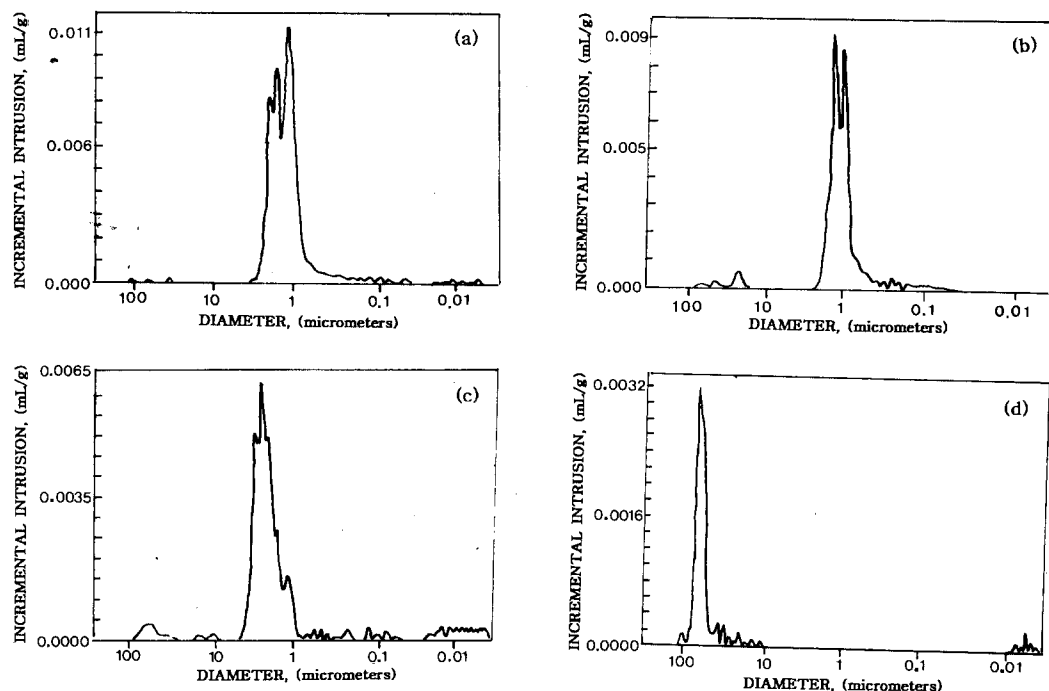


Fig. 8 Pore-size frequency distribution of MgO-10mol%ZrO₂ containing various amounts of TiO₂ fired at 1600°C for 2h. (a) 0wt% (b) 0.83wt% (c) 2.51wt% (d) 3.66wt%

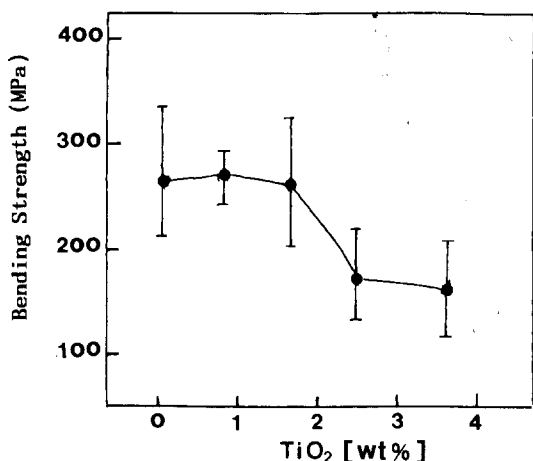


Fig. 9 Relation between the amounts of TiO₂ and the bending strength in specimens fired at 1600°C, 2h.

응력완화에 기인한다.

2.51wt% 이상의 TiO₂첨가시 강도의 감소는 낮은 소결밀도(Fig. 5)와 Ti화합물의 존재로 인하여 입계주위에 생성된 임계크기이상의 미세균열이 소결체의 파괴원으로 작용한 것으로

생각된다.

4. 결 론

마그네시아-지르코니아 복합체의 소결성과 미세구조에 미치는 TiO₂영향을 검토하였다.

- 제2상인 ZrO₂의 결정상은 소성과정 중에 기지상인 MgO와 첨가제인 TiO₂의 고용에 의하여 c-ZrO₂상으로 동정되었다.
- TiO₂첨가시 조성에 관계없이 승온수축거동은 유사하였으며 1650°C에서의 최종수축율은 8.58-11.00%이었다.
- 1.67wtTiO₂첨가시 소결이 촉진되어 1600°C, 2시간 소결후의 밀도는 3.75g/cm³이었고 또한 입성장이 진행되어 MgO와 ZrO₂평균 입자크기는 각각 2.5μm, 3.0μm이었다.
- 1500°C에서 ZrO₂결정격자내에 고용된 TiO₂양은 2.62wt%로써 소성냉각과정중에 입계주위에 일부 석출되어 Ti화합물을 형성하였고 이의 존재로 말미암아 미세균열의 도입에 따른 껍임강도값은 감소하였다.

참고문헌

1. T. Okamoto, Y. Ikuma, M. Shimaoka and W. Komatsu, J. Ceram. Soc. Jpn., 97(8), 812-17 (1989).
2. A. Nishida and K. Terai, ibid, 100(9), 1113-1116 (1992).
3. A. Nishida, S. Fukuda, Y. Koutoku and K. Terai, ibid, 100(2), 191-195(1992).
4. J.W. Nelson and I.B. Culter, J.Am.Ceram. Soc., 41, 406-409 (1958).
5. G.L. Laydan and M.C.Mc Quarrie, ibid, 42, 82-92 (1959)
6. K. Hamano, K. Yoshino and H. Togashi, Yogyo-Kyokai-Shi, 74, 318-325 (1966).
7. J.T. Jones, P.K. Maitra and I.B. Culter, J. Am.Ceram.Soc., 41, 353-57 (1959).
8. H.J.S. Kriek, W.F. Ford and J. White, Trans.Brit.Ceram.Soc., 58, 1-34 (1959).
9. P. Reynen, Mater.Sci.Res, 13, 355-75 (1980).
10. P.P. Budnikov, M.A. Matveev and V.K. Yanoskii, Refractories, 190-195 (1965).
11. K. Tsukuma, "Transparent TiO₂-Y₂O₃-ZrO₂ Ceramics." p. 11-20, vol 8, Zirconia Ceramics, edited by Uchida Rokakuho Publishing Co., LTD, Japan (1989).
12. 水野正雄, 野口哲男, 山田豊章, 名古屋工業技術試験所報告, 第18卷, 第1.2號, 9-14 (1969).
13. T.S. Yuan, G.V. Srinivasan, J.F. Jue and A.V. Virkar, J.Mater. Sci., 24, 3855-3864 (1989).
14. E.A. Colbourn, W.C. Mackroad, J.Mater. Sci., 17, 13021-3038 (1982).
15. H.C. Park and F.L. Riley, J.Kor.Ceram. Soc., 29(6), 489-495 (1992).
16. J. Wang PhD Thesis, Department of Ceramics, University of Leeds (1984).
17. Y. Ikuma and A.V. Virka, J.Mater. Sci., 19, 2223-38 (1984).
18. Y. Ikuma, W. Komatsu and S. Yaegashi, J. Mater. Sci.Lett., 4, 63-66 (1985).
19. Y. Ikuma and W. Komatsu, "Toughening of MgO by Incorporating ZrO₂", p. 35-43, Zirconia Ceramics, vol 6, edited by Uchida Rokakuho Publishing Co., LTD, Japan (1986).